

中国科学院
应用化学研究所集刊

第五集

(金属腐蚀及防护专号)

科学出版社

中国科学院应用化学研究所集刊

第五集
(金属腐蚀及防护专号)

编辑者 中国科学院应用化学研究所

出版者 科 学 出 版 社
北京朝阳门大街 117 号
北京市书刊出版业营业登记证字第 061 号

印刷者 中 国 科 学 院 印 刷 厂

总经售 新 华 书 店

1961 年 12 月第一版 书号：2433 字数：122,000
1961 年 12 月第一次印刷 开本：787×1092 1/16
(京) 0001—5,000 印张：5 3/8

统一书号：13031·1546

定 价： 0.77 元

本社书号： 2433·13-3

54.7
144
5:2

前　　言

金属腐蚀及防护在我国是一门基础比较薄弱的学科，由于党和政府的重视，近几年来在全国范围内获得迅速的发展。中国科学院和各产业部门的研究机构中逐渐增加了关于金属腐蚀的研究组织，某些工厂也成立了腐蚀小组或耐腐蚀材料车间，高等学校中也开展了有关金属腐蚀方面的研究工作。中国科学院应用化学研究所金属腐蚀组成立以后，也做了一些工作；除了在化学通报上发表过一部分外，大部分的工作先前都沒有发表。为了及时交流经验，推广成果，我們特将历年来未发表的报告，編成“金属腐蚀及防护专号”发表。虽然这些工作在生产上起了或将起一定的作用，但存在的缺点还很多，有些工作做得还不够深入，我們衷心希望讀者对这些工作多提出批评和宝贵建議，作为我們的鞭策，以便今后改进。

中国科学院应用化学研究所

1961年6月

三k025/16

中国科学院应用化学研究所集刊

第五集

(金属腐蚀及防护专号)

目 录

前言

卤素离子对于 18-8 钢在硫酸中的腐蚀速度的影响.....	沈行素、华保定 (1)
Ag ⁺ , Cu ⁺⁺ , Fe ⁺⁺⁺ , Ce ⁺⁺⁺⁺ 等离子对于 18-8 钢在硫酸中的缓蚀作用.....	华保定、沈行素 (7)
关于铬酸盐对于钢铁的缓蚀作用.....	华保定、严铁城、严志平 (12)
苯甲酸盐的缓蚀作用.....	华保定 (18)
关于铝在碱溶液中的腐蚀问题.....	华保定、单义斌、吴勤昌 (22)
铝离子对铜在酸溶液中腐蚀速度的影响.....	金属腐蚀组 (25)
铝及铝合金在硫酸溶液中的阳极氧化.....	陈俊明、高亢之、万传鋐、余柏年 (29)
铝线上绝缘氧化膜的制备.....	金属腐蚀组 (35)
关于铅的阴极腐蚀问题.....	华保定、顾良证、赵鸿本 (48)
铅在土壤中腐蚀的研究.....	金属腐蚀组 (55)
钢铁零件在锌的磷酸盐溶液中处理的研究.....	金属腐蚀组 (62)
钠汞齐的电解制造.....	金属腐蚀组 (67)
铝的电解抛光.....	金属腐蚀组 (77)
金属防腐用磷酸盐的制备的研究(摘要).....	华保定、钮秉良 (81)

卤素离子对于 18-8 鋼在硫酸中的腐蝕速度的影响

沈行素 華保定

C. M. Бабицкая 和 X. A. Цейтлин 发现^[1], 氯离子等卤素离子对于不銹鋼(18-8 鋼等)在硫酸中的腐蝕有着显著的阻抑作用, 并且阻抑程度与氯离子浓度的关系之間存在着一最大值。但是他們对于这一現象沒有作出任何的解釋。

在碱性或中性溶液中, 卤素离子对于鋼鐵的腐蝕有加速的作用, U. R. Evans^[2] 等認為这是因为卤素离子可以穿过氧化物膜, 以致于破坏了后者的保护作用。可是現在已知^[3], 还不到一个分子层的吸附的氧也可以使鐵鈍化, 因而 U. R. Evans 等的理論是不能成立的。3. A. Иофа 等进一步指出了^[4], 在硫酸溶液中, 卤素离子的存在非但不使鐵的溶解的阳极过程加速, 而且可以使它大大地降低, 即引起了鐵的某种程度的鈍化。吸附的測定表明^[5], 这时吸附在鐵表面上的卤素离子(例如I⁻)还不到一个单原子层。根据 3. A. Иофа, 卤素离子的作用是在于它使鐵表面上一些活性中心被屏蔽, 使金属电离的活化能增加; 类似于吸附氧的作用。Я. М. Колотыркин 等^[6,7] 曾詳細地研究过特性吸附的阴离子对某些金属上的氢过电位和阳极溶解过程的影响, 表明了視吸附阴离子的性质及其在溶液中的浓度而定, 它們既可以使氢过电位降低, 也可以使它升高。根据 A. Н. Фрумкин 的解釋, 阳离子的吸附可以使 ϕ_i 电位移向負方, 因而使氢的发生加速, 可是更深刻的吸附也可以使氢原子在金属表面上的吸附热 q_H 降低, 因而使氢的发生減慢, 即引起氢过电位的增加。Я. М. Колотыркин 等^[8] 也曾研究过卤素离子对于硫酸溶液中鎢的阳极溶解速度的影响, 研究表明了, 視硫酸的浓度而定, 碘离子的吸附既可以使鎢的溶解加速, 也可以使它減慢。作者們認為反应速度加快的原因是因为吸附的阴离子減弱了金属原子在晶格中的鍵能, 使它們易于进入溶液。

为了判明卤素离子对于不銹鋼的緩蝕作用的原因, 應該分別測定这些离子对于不銹鋼在硫酸溶液中的阴极过程和阳极过程的影响。这样的實驗, 据我們所知, 現在还没有人进行过。

实 驗 方 法

在測量不銹鋼的阴极和阳极极化曲線的同时, 我們用全沉浸法来測定不銹鋼在含有不同浓度的卤素离子的 10N H₂SO₄ 中的腐蝕速度。

腐蝕試驗所用的样品是 40 × 20 × 0.4 毫米的 18-8 不銹鋼片。腐蝕試驗的時間为 24 小时或 48 小时, 温度为 25 ± 0.1°C。用样品的失重来表示腐蝕速度。

在測定极化曲線时采取順測法, 即电流密度的变化是从小到大。样品的边缘用生漆涂盖。在測定时, 当电位的变化小于 1 毫伏/5 分鐘, 即作为稳定值記下。参考电极为 1N 硫酸亚汞电极, 但报告中所載电位均已換算成对标准氢电极的值(考虑了液体的接界电位)。每个實驗重复 2—3 次, 电位的重现性一般在 ± 2—3 毫伏以内, 个别的达到 ± 5 毫

伏。

极化曲綫有的是在通空气的情况下测定的，有的則是在通氢情况下测定的。在后一情况下电解氢先經過鉻接触剂以除去其中的氧。阳极极化曲綫在这二种情况下沒有显著的差別。試驗所用的硫酸、氯化鈉、溴化鈉和碘化鉀都是保証試剂或分析純試劑，水是二次蒸餾的。試驗溫度是 25 ± 0.1°C.

試 驗 結 果

首先，我們測定了不同浓度的 Cl^- , Br^- , I^- 对于 18-8 鋼在 10N H_2SO_4 中的腐蝕速度的影响，所得結果示于图 1, 图 2 和图 3.

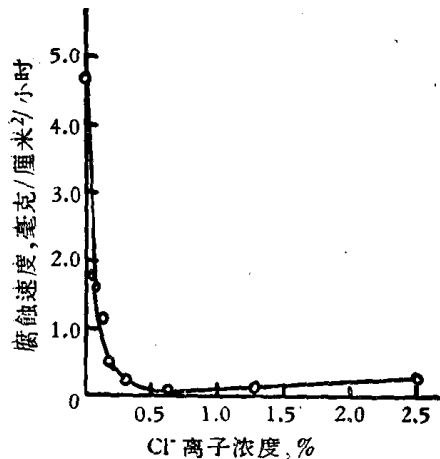


图 1 Cl^- 离子浓度对于 18-8 鋼在 10N H_2SO_4 中的腐蝕速度的影响

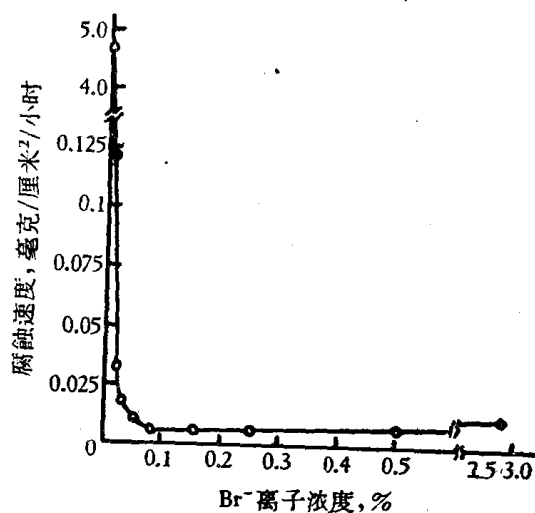


图 2 Br^- 离子浓度对于 18-8 鋼在 10N H_2SO_4 中的腐蝕速度的影响

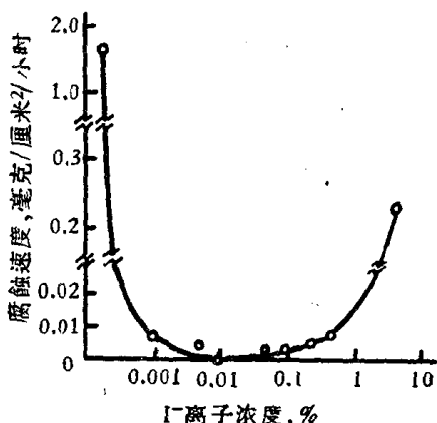


图 3 I^- 离子浓度对于 18-8 鋼在 10N H_2SO_4 中的腐蝕速度的影响

其次，我們測定了 18-8 鋼在加有不同浓度 Cl^- , Br^- , I^- 的 10N H_2SO_4 中的靜止電位值，所得結果示于表 1.

然后我們在通空气情况下測定了 18-8 鋼在加有不同量 Cl^- , Br^- , I^- 的 10N H_2SO_4 中的阴极和阳极极化曲綫，所得結果示于图 4 和图 5.

表1 18-8 鋼在不同組成电解液中的靜止電位值

電解液組成	10N H ₂ SO ₄	10N H ₂ SO ₄ + 0.63% Cl ⁻	10N H ₂ SO ₄ + 2.50% Cl ⁻	10N H ₂ SO ₄ + 0.08% Br ⁻	10N H ₂ SO ₄ + 0.01% I ⁻
靜止電位*, 伏	-0.111	-0.138	-0.161	-0.051	+0.018
靜止電位移動值, 伏	0	-0.027	-0.050	+0.060	+0.129

* 对于标准氢电极之电位。

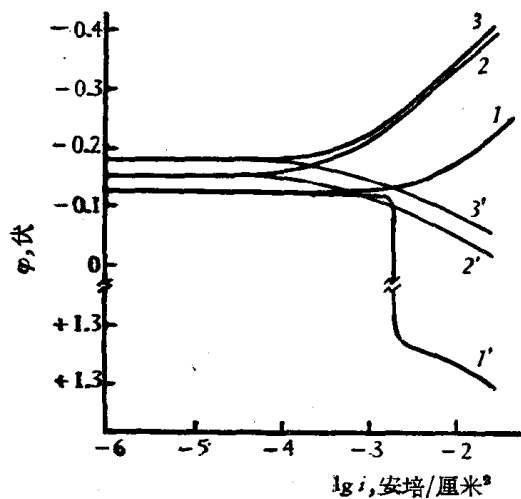


图4 18-8 鋼在下列組成电解液中的阴极与阳极极化曲綫

1—1'——10N H₂SO₄, 2—2'——10N H₂SO₄+1.25% Cl⁻, 3—3'——10N H₂SO₄+2.50% Cl⁻.

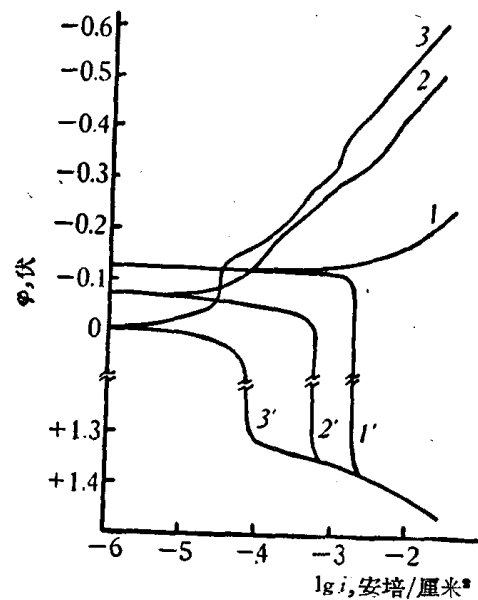


图5 18-8 鋼在下列組成电解液中的阴极与阳极极化曲綫

1—1'——10N H₂SO₄, 2—2'——10N H₂SO₄+0.08% Br⁻

3—3'——10N H₂SO₄+0.01% I⁻.

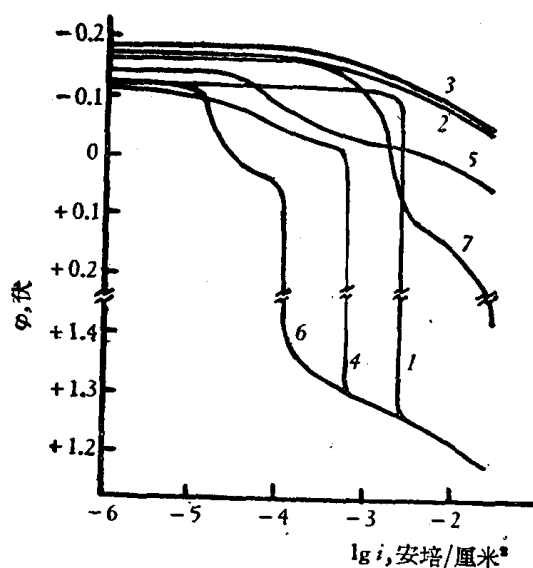


图6 18-8 鋼在下列組成电解液中的阳极极化曲綫(通氢下测定):

1——10N H₂SO₄, 2——10N H₂SO₄+1.25% Cl⁻, 3——10N

H₂SO₄+2.5% Cl⁻, 4——10N H₂SO₄+0.08% Br⁻,

5——10N H₂SO₄+2.8% Br⁻, 6——10N H₂SO₄+0.01% I⁻,

7——10N H₂SO₄+4.5% I⁻.

此外，我們还在通氫的情况下測定了 18-8 鋼在加有不同浓度卤素离子的 10N H₂SO₄ 中的阳极极化曲線，所得結果示于图 6。

討 論

从图 1, 2, 3 可以看到，I⁻, Br⁻ 和 Cl⁻ 离子对于 18-8 鋼在 10N H₂SO₄ 中的腐蝕有着显著的阻抑作用。当卤素离子的浓度逐渐增加时，腐蝕速度最初急剧下降，但当超过某一临界浓度后，腐蝕速度又略微有些增加。在临界浓度时，卤素离子的阻抑作用按下列次序增加：

$$Cl^- < Br^- < I^-,$$

并且，在临界浓度时的卤素离子的浓度按下列次序降低：

$$[Cl^-]_{\text{临界}} > [Br^-]_{\text{临界}} > [I^-]_{\text{临界}}.$$

从图 4 可見，Cl⁻ 离子的加入显著地抑制了氢离子的放电过程，但同时却加速了金属电离的阳极过程。由于前一效应大于后一效应，Cl⁻ 离子的加入就使不锈钢的腐蝕減慢了。可是当 Cl⁻ 离子的浓度从 0.63% (临界浓度) 增加到 2.5% 时，氢过电位的增加不多，而阳极过程却显著地加速。这样就解释了为什么氯离子的緩蝕作用不是很高，以及腐蝕速度在达到氯离子的临界浓度以后又重新增加的原因。

从图 5 和图 6 可見，Br⁻ 和 I⁻ 离子不但剧烈地抑制了氢离子的放电过程，同时也抑制了金属的电离过程，这和 3. A. Иофа 对于鐵所得到的結果是相似的。但是从电位的移向正方 (表 1) 可以看到，少量的 I⁻ 和 Br⁻ 离子对于阳极过程的抑制作用大于它們对于阴极过程的抑制作用，并且还促进了 18-8 鋼的鈍化；而在鐵的情况下^[4]，I⁻ 离子对于氢的發生的阻碍作用大于它于阳极溶解過程的阻碍作用，并且也不能觀察到 I⁻ 离子等促进金属鈍化的現象。

从图 6 还可以看到，当 I⁻ 和 Br⁻ 的浓度分別增加到 4.5% 和 2.8% (与 1.25% Cl⁻ 等当量浓度) 时，它們不但不能进一步抑制金属的电离过程，而且使不锈钢的鈍化更难发生。同时，Br⁻ 和 I⁻ 的浓度的繼續增加对氢离子的放电过程的影响不大，因而腐蝕速度又重新稍有增加。

这样，Br⁻ 和 I⁻ 离子的較高的緩蝕效率是因为它們使阴极和阳极过程同时受到剧烈的阻滯。在更高的 Br⁻ 和 I⁻ 的浓度下，由于阳极过程的加速，腐蝕速度又重新增加，这样就解釋了临界浓度的出現的原因。

卤素离子在不同的浓度下可以对金属的溶解过程起着如此不同的作用，这个原因是值得討論的。

对于氢的发生的情况，根据已知的氢过电位理論^[3]，

$$\eta_K = K - \frac{RT}{F} \ln [H^+] + \frac{RT}{\alpha F} \ln i_K + \psi_1 - \frac{q_H}{F}. \quad (1)$$

根据 A. H. Фрумкин 的意見，阴离子的特性吸附既可以使 ψ_1 移向負方，因而使氢过电位降低，或者，阴离子与金属表面的更深刻的作用也可以使金属表面上氢原子的吸附中心被屏蔽，使吸附热 q_H 降低，因而使氢过电位升高。在我們的情况下，在所研究的卤素离子的浓度范围内，卤素离子都使过电位升高，因而可以認為，在这一情况下，卤素离子的吸附主要地使氢的吸附热降低，即 q_H 的效应大于 ψ_1 的效应。

对于不锈钢的阳极溶解过程来说，如实验表明的那样，卤素离子的影响相当复杂。初步可以认为，金属的阳极溶解过程可以以下式表示：

$$i = k[\text{Me}]^s \cdot e^{-\frac{W^0 - \beta(\varphi - \psi_1)F}{RT}}, \quad (2)$$

其中 $[\text{Me}]^s$ 是金属表面上参加电离反应的金属的原子数，它在一般的情况下可以认为是常数。 W^0 是金属电离的活化能，它可以随着表面状态的变化而变化。

在第一种情况下，如果阴离子的吸附主要地是使 ψ_1 电位移向负方，那么从上式可以看出，阳极过程将要加速。在氯离子的情况下，在所研究的浓度范围内，氯离子的吸附总是使得阳极过程加速。在这里，显然 ψ_1 的效应起着主要的作用。Я. М. Колотыркин^[8] 认为，阴离子（例如 I^- ）的吸附可以使金属（例如镍）原子在其晶格中的键能减弱，因而使金属易于进入溶液。这一解释与上一解释（ ψ_1 的效应）相类似，应该认为也是可能的。

可是还存在着第二种可能的情况：如果被吸附的阴离子（例如 I^- ）与金属形成的键是十分牢固的，这些离子也可以使金属溶解的活性中心（例如活性较大的晶面）被屏蔽，使金属溶解的活化能 W^0 增加，因而根据方程式（2），使金属溶解的速度减慢。如果在式（2）中， $[\text{Me}]^s$ 代表的是活性的金属原子数，那么活性的原子数的减少也应该导致同一结论。所以在一般情况下，对于金属的阳极溶解过程，如果第一种效应（ ψ_1 的降低的效应）大于第二种效应（活化能升高的效应），那末将要观察到阳极溶解速度的增加，如氯离子的情况那样。反之，如果第二种效应大于第一种效应，那么将要观察到阳极溶解速度的减慢，如溴和碘离子在“临界浓度”以下的情况那样。

可是在实验中还观察到，当 Br^- 和 I^- 的浓度继续增加时，阳极溶解的速度又重新有所增加。可能的是，最初被这些离子吸附的是金属表面上那些最活泼的区域，即最活泼的溶解的活性中心，这时，活化能的升高远大于 ψ_1 降低的效应，因而最初观察到溶解速度的强烈的降低。可是在这些最活泼的活性中心被屏蔽以后，如果继续增加溶液中的 Br^- 或 I^- 的浓度，表面上一些较不活泼的活性中心也可能被吸附，这时，金属与阴离子的结合可能不那样强烈，因而总的说来，以后的吸附所引起的 ψ_1 的降低将大于活化能的增高的效应。这样就观察到溶解速度的重新升高。

結論

(1) 卤素离子对于 18-8 钢在硫酸中的腐蚀有着显著的阻碍作用。对于每种卤素离子来说，都存在着某一“临界浓度”，当超过这一浓度时，腐蚀速度又重新增加。

(2) Cl^- 离子降低腐蚀速度的主要原因是由于阻碍了阴极过程。相反，它对阳极过程有一些促进作用。当 Cl^- 的浓度超过临界浓度时，后一作用的增加大于前一作用的增加，因而腐蚀速度又重新增加。

(3) Br^- 和 I^- 离子降低腐蚀的原因是由于它们既阻碍了阴极过程，也阻碍了阳极过程，并且后一作用大于前一作用。可是当 Br^- 和 I^- 的浓度继续增加时，它们对阳极过程的抑制作用就反而减弱，这就引起了“临界浓度”的出现。

(4) 根据迟缓放电理论，用 ψ_1 电位的变化、氢原子吸附热的变化以及金属溶解的活化能的变化分别讨论了卤素离子对于金属上的阴极过程和阳极过程的影响的可能机构。

致謝：本工作在結果的討論和报告的编写方面得到朱崇昭先生重要的指导，作者在此謹致衷心的

謝意。

(工作日期：1957年1月至9月)

参 考 文 献

- [1] С. М. Бабицкая и Х. А. Цейтлин, Исследования по нержавеющим стальам, (1956), стр. 69.
- [2] U. R. Evans, Metallic Corrosion, Passivity and Protection, 1946.
- [3] 菲鲁姆金等著，“电极过程动力学”(科学出版社，1957)。
- [4] З. А. Иофа и Л. А. Медведева, *ДАН*, **69**, 213 (1949).
- [5] З. А. Иофа и Г. Е. Рождественская, *ДАН*, **91**, 1159 (1953).
- [6] Я. М. Колотыркин и Л. А. Медведева, *ЖФХ*, **25**, 1355 (1951).
- [7] Я. М. Колотыркин и Л. А. Медведева, *ЖФХ*, **27**, 1344 (1953).
- [8] Я. М. Колотыркин и Л. А. Медведева, *ЖФХ*, **29**, 1477 (1955).

Ag⁺, Cu⁺⁺, Fe⁺⁺⁺, Ce⁺⁺⁺⁺ 等离子对于 18-8 鋼 在硫酸中的緩蝕作用

華保定 沈行素

18-8 型不銹鋼在硫酸中是不穩定的，但是如果在硫酸中加入少量的 Ag⁺, Cu⁺⁺ 等離子，那麼就有可能使腐蝕完全停止。研究這一現象對於擴展不銹鋼在硫酸和硫酸銨工業中的應用有一定的意義。除此以外，Ti, Zr 等金屬在某些介質中的腐蝕也可以用 Cu⁺⁺ 等離子來防止，因此研究這一現象對於如何抑制易於鈍化的金屬在活性-鈍性邊緣狀態下的腐蝕也有一定的意義。

雖然過去有很多作者研究過 Ag⁺, Cu⁺⁺ 等離子的緩蝕作用，但是各個作者對此的解釋却很不一樣。Шултин^[1] 等認為，Ag⁺, Cu⁺⁺, Hg⁺⁺ 等對於不銹鋼在硫酸中的緩蝕作用，是由於它們析出在金屬表面上氧化物膜的空隙中使膜更緊密完整因而隔離了硫酸的作用所致。

Kiefer^[2] 等研究了許多硫酸鹽對不銹鋼在硫酸中的腐蝕的影響，得出陽離子的緩蝕作用與它們的電位序有關，電位愈正，緩蝕作用愈大，因此緩蝕作用的效能是 Cu⁺⁺ > Sn⁺⁺ > Ni⁺⁺。但是他們也不能作出合理的解釋。

Uhlig^[3] 根據 Cu⁺⁺, Fe⁺⁺⁺ 級子的濃度與 18-8 鋼在硫酸中的電位之間的關係是服從由 Langmuir 吸附等溫式所導出的公式，而認為這些離子的緩蝕作用是由於它們被吸附在 18-8 鋼表面上所致。他並且根據同一理由認為，CrO₄⁻ 對於鐵的、O₂ 對於不銹鋼的、Cu⁺⁺, Fe⁺⁺⁺ 等對於 Ti 的鈍化作用也都是由於吸附。

Томашов^[4] 在研究陰極性合金添加劑 (Pt, Pd, Ag, Cu) 對於不銹鋼在硫酸中的腐蝕的影響時，也曾研究過 Ag⁺, Cu⁺⁺ 等離子對於不銹鋼在硫酸中的緩蝕作用。他認為這種緩蝕作用是由於這些離子析出在不銹鋼表面上，增加了陰極的有效面積，因而促進了氧的去極化過程而使陽極區達到了鈍化所需的電流。

Томашов 所作的解釋是可能的，但除了這種作用外，Ag⁺, Cu⁺⁺ 等的緩蝕作用還可能在於它們能夠作為有效的陰極去極化劑。這些離子在開始還原的一瞬間即能產生一與離子濃度有關的還原電流，如果這一還原電流超過了不銹鋼鈍化所需的最小電流，就能使不銹鋼鈍化並使腐蝕幾乎完全停止。顯然，弄清楚這些離子的作用原理對今后選擇這一大類的緩蝕劑有了一定的意義。

此外，我們特別覺得 Uhlig 的解釋的根據是不夠充分的，雖然吸附對於鈍化常常起著重要的作用，有時甚至是決定性的作用，但是根據 $\frac{C}{\Delta E}$ 與 C 成直線關係（這裡 C 是緩蝕劑濃度，ΔE 是加入緩蝕劑後所引起的電位移動）來判斷吸附卻很危險，因為這一試驗方法很不靈敏，關於這一點在有關吸附的專著中也曾被指出過。我們覺得在 Uhlig 的工作中

所測得的電位很可能是鈍化了的 18-8 鋼所表現出來的氧化-還原電位，就象 Frank 和 Weil^[5] 在研究鐵在 Ce^{+++} - Ce^{++++} 溶液中的行為時所得的結論一樣。因為 $C - C/\Delta E$ 的關係曲線是 Uhlig 的緩蝕劑的吸附理論的重要實驗依據之一，因此我們認為，通過 Fe^{+++} , Cu^{++} 的緩蝕作用的研究來校驗 Uhlig 的結論的正確性也具有一定的意義。

實驗部分及結果的討論

首先，我們測定了 18-8 鋼電極在加有不同濃度的 Fe^{+++} 的 0.2N H_2SO_4 中的電位，並同時測定了鍍鉑黑的鉑電極在同一溶液中的電位，結果二者的電位完全一樣（見圖 1）。因

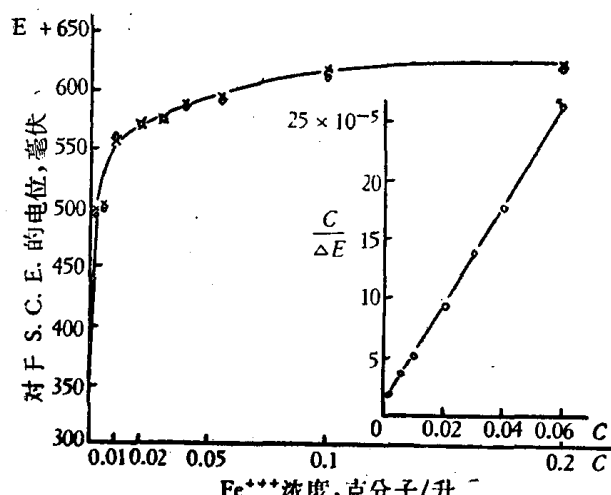


图 1 Fe^{+++} 浓度对于 18-8 鋼及鉑電極在 0.2N H_2SO_4 中的靜止電位的影響
○—18-8 鋼, ×—鉑.

此很明显，Uhlig 所測得的電位實際上是溶解下來的微量 Fe^{++} 與溶液中的 Fe^{+++} 所組成的氧化-還原體系的電位。但是如果我們把 $C/\Delta E$ 對 C 作圖（這裡 C 是 Fe^{+++} 离子濃度， ΔE 是由於 Fe^{+++} 离子的加入而引起的電位變化），我們也得到一直線關係（圖 1）。這就證明 Uhlig 根據這一直線關係而認為緩蝕劑是通過吸附起作用，這是不合适的。

其次，我們測定了 18-8 鋼在加有不同濃度 Ag^+ , Cu^{++} , Fe^{+++} , Ce^{++++} , $\text{Cr}_2\text{O}_7^{2-}$, VO_3^- 等離子的 10N H_2SO_4 中的腐蝕速度。實驗結果表明，對所有這些離子來說都存在着某一個臨界濃度。當添

加劑濃度超過這一濃度時，18-8 鋼就幾乎完全不受腐蝕，但如不到這一濃度，則這些離子對腐蝕速度就幾乎沒有影響，並且溶液中這些離子所特具的顏色由於被還原而很快消失（我們還試驗了 MnO_4^- ，雖然它在硫酸中很不穩定，但所表現出來的作用與上述這些離子也是一樣的）。值得指出的是，這一臨界濃度非常清晰，沒有中間狀態存在。此外，臨界濃度與樣品的表面處理有很大關係，對於新磨光的樣品，磨光後放置幾天或者是用酸處理過的樣品說來，臨界濃度之值可以相差相當多，並且它的數值與樣品的大小也有關係（這很可能是由於擴散情況的不同）。在這一工作中我

們統一地選擇了大小為 $13 \times 6 \times 0.4$ 毫米的帶有一細柄的樣品，邊緣、柄及一面均用生漆塗蓋，用 0 号砂布磨光，用硅藻土去油，再用蒸餾水沖洗並用濾紙吸干，迅速稱量至精確度為 1 毫克，然後掛入盛有待測溶液的試管中進行腐蝕試驗，樣品從磨光完畢至放入溶液，其間均規定為 3 分鐘，試驗時間為 2 小時。平行試驗一般為 3 個，在臨界濃度附近達 6—8 個，重現性相當好，所得結果示於圖 2。

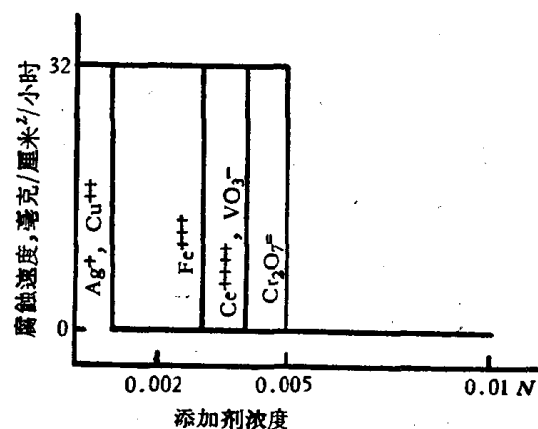


图 2 18-8 鋼在 10N 硫酸中停止腐蝕
所需添加劑的最低濃度

我們又測定了 18-8 鋼鈍化所需最小电流密度，方法如下：將与腐蝕試驗时所用相同的样品預先接向恆电流装置的正端（負端接在輔助鉑电极上），然后插入 10N H₂SO₄ 中，这样就使样品一浸入溶液就有一定密度的阳极电流通过，然后根据电位来判断，在这一电流密度下电极处在活化状态还是鈍化状态（此时鈍化电极与活化电极的电位相差达 1 伏以上）。重复試驗一般也是 3 个，但在临界电流密度附近时則多至十几个，結果的重現性也很好。試驗的結果得出，在这种条件下鈍化所需最小电流 ($I_{\text{鈍化}}$) 为 200~250 微安。

我們又測定了在 10N H₂SO₄ 中的不同浓度的 Ag⁺, Cu⁺⁺ 等离子在 18-8 鋼上的最大还原电流。由于用普通的极化曲線測定法时，电极表面离子浓度会很快地降低，因此得到的还原电流就愈来愈小，得不出任何結果，如果強烈攪拌溶液，则当阴极电流大时，电极的鈍化状态就被破坏而开始腐蝕，也得不出任何結果。因此我們采用了示波极譜法来測定。試驗时用一以 0.3 伏/秒的速度变化着的直流电压加在 18-8 鋼电极（与上面所用的相同）以及一不极化的电极（在 Ag⁺ 溶液中时为 Ag，在 Cu⁺⁺ 溶液中时为 Cu，在其他离子溶液中时为一大面积的甘汞电极）上，使 18-8 鋼阴极极化，然后用照片記錄电流与時間的关系（亦即电流与外加电压的关系），所得結果示于图 3。从图 3 可以看出，对于 Ag⁺, Cu⁺⁺,

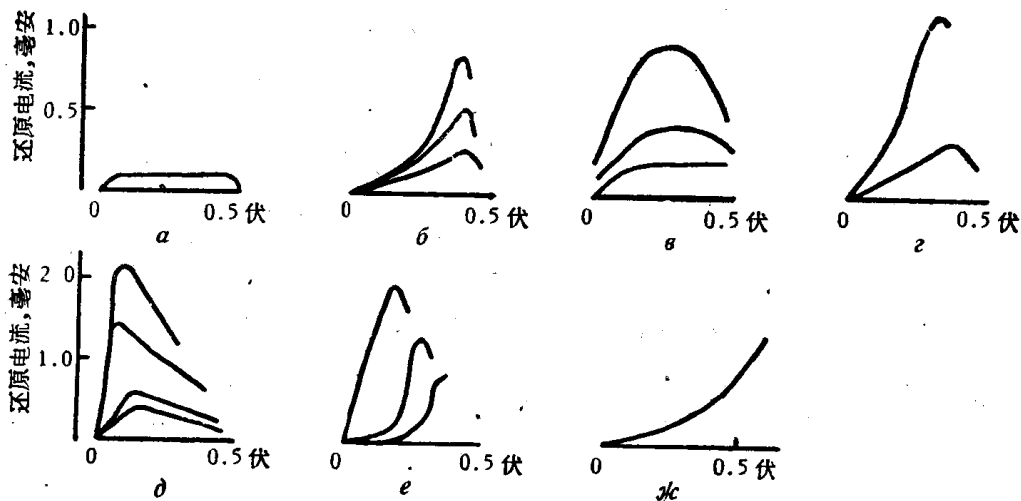


图 3 18-8 鋼在加有不同添加剂的 10N H₂SO₄ 中的阴极还原电流与外加电压的关系

a) 10N H₂SO₄; b) 10N H₂SO₄ + 0.002, 0.005, 0.01M Fe⁺⁺⁺; c) 10N H₂SO₄ + 0.002, 0.005, 0.01M Ce⁺⁺⁺⁺; d) 10N H₂SO₄ + 0.002, 0.005, 0.01M VO₃⁻; e) 10N H₂SO₄ + 0.001, 0.002, 0.005, 0.01M Ag⁺; f) 10N H₂SO₄ + 0.002, 0.005, 0.01M Cu⁺⁺; g) 10N H₂SO₄ + 0.01N CrO₄⁼.

Fe⁺⁺⁺, Ce⁺⁺⁺⁺, VO₃⁻ 等說來都出現了一峯值还原电流 ($I_{\text{峯值}}$)——也即在这种試驗条件下靠近电极表面层中这些离子还原时所能給出的最大电流（其中也包括氧的还原）。当电极表面层中的离子消耗完以后，繼續的还原就要靠扩散，因此电流就降低很多。但是，对于 CrO₄⁼來說却得不到这一峯值还原电流。当外加电压上升至 -1 伏时，就开始放出氢的过程，并且电极也活化了，这說明 CrO₄⁼ 的还原情况与其他离子是很不相同的，它很难在鈍化的不銹鋼表面上被还原。对于 Ag⁺, Cu⁺⁺, Fe⁺⁺⁺, Ce⁺⁺⁺⁺, VO₃⁻ 說來，峯值电流和浓度的关系示于图 4。

如果認為 Cu⁺⁺, Ag⁺ 等离子的緩蝕作用是由于它們的去极化作用促进了不銹鋼的鈍化的話，那么可以得出，在緩蝕剂起作用的浓度下，这些离子的还原峯值电流应大于鈍化

所需的最小电流，即 $I_{\text{峯值}} > I_{\text{钝化}}$ ，而在缓蚀剂的临界浓度下则 $I_{\text{峯值}} = I_{\text{钝化}}$ 。

根据图 2 和图 4 可以看出，在临界浓度下，对于 Ag^+ , Cu^{++} , Fe^{+++} , Ce^{++++} , 和 VO_3^- 而言，其峰值电流分别为 250, 300, 300, 300, 450 微安，与钝化所需的最小电流 200—250 微安级数相同。如果考虑到峰值电流与电压变化速度的关系，以及样品插入速度的差别，

那么它们之间的这一相符程度是令人满意的。

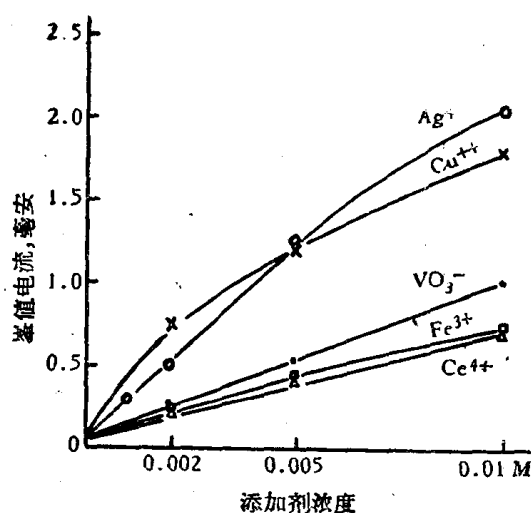


图 4 18-8 钢在加有添加剂的 10N H_2SO_4 中的阴极还原峰值电流与添加剂浓度之间的关系

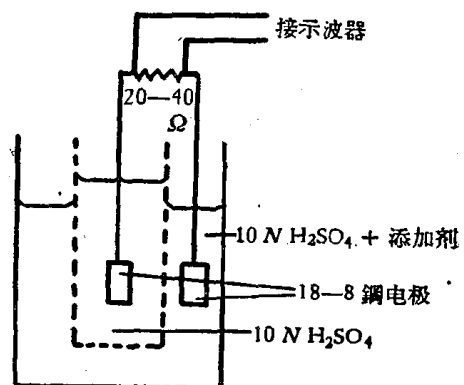


图 5 测定 18-8 钢 | 10N H_2SO_4 | 10N H_2SO_4 + 添加剂 | 18-8 钢电池短路后电流与时间的关系所用装置

为了进一步证明这些离子的缓蚀作用主要在于它们的去极化性能而与这些离子的吸附无关，我们进行了如下的实验。将加有添加剂的 10N H_2SO_4 与不加添加剂的 10N H_2SO_4 两种溶液用多孔瓷杯隔离开来，在加有添加剂的溶液中事先放入一块 18-8 钢电极，并待其钝化，一端通过一 20—40 欧姆的电阻与另一块同样大小的 18-8 钢电极（电极大小与处理方法均与前同）相连，在将后者插入 10N H_2SO_4 溶液中去的同时，立刻用示波器记录 18-8 | 10N H_2SO_4 | 10N H_2SO_4 + 添加剂 | 18-8 电池通过一电阻接通后电流与时间的关系。实验所用装置示于图 5。对于不同离子所得结果示于图 6。从图 6 可以看出，在电池刚接

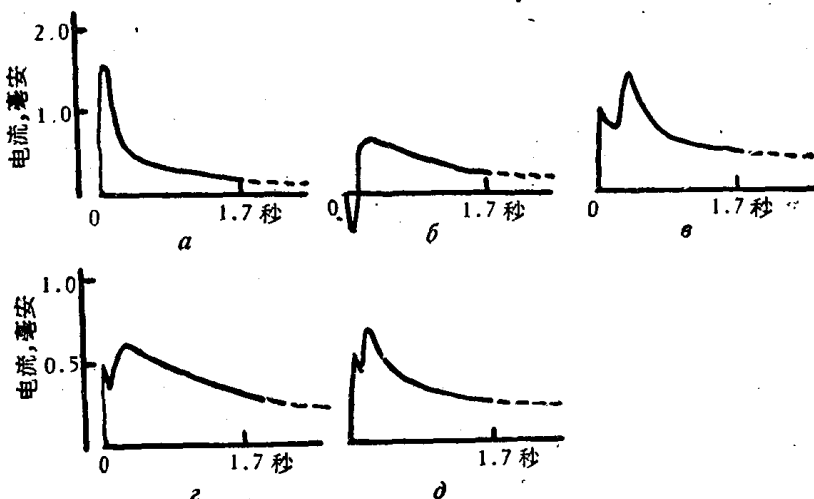


图 6 18-8 钢 | 10N H_2SO_4 | 10N H_2SO_4 + 添加剂 | 18-8 钢电池短路后电流与时间的关系

a) 0.002M Ag^+ ; b) 0.002M Cu^{++} ; c) 0.005M Ce^{++++} ;
d) 0.005M Fe^{+++} ; e) 0.005M VO_3^- .

通时，在 $10N H_2SO_4$ 中的电极是阳极，在有添加剂的溶液中的电极是阴极，在一瞬间线路中有相当大的电流流过，但这一电流逐渐地随着时间降低到接近于零，在此同时，两块不锈钢都达到钝化状态而不腐蚀。实验证明，如果外套筒内添加剂不足的话，内外二块不锈钢就都活化了。这一实验证明了18-8钢的钝化并不需要与 Cu^{++} , Ag^+ , Fe^{+++} 等离子直接接触，因此也就与这些离子的吸附无关，与析出的 Ag , Cu 的“堵塞”作用或是降低氢的过电位的作用也无关。在铜离子的情况下，由于刚插入 $10N H_2SO_4$ 中去的电极上可能吸附一层氧，电位较正，所以当电池开始接通时它反是阴极，但当这层氧消耗完后又成为阳极了。

在上述这些实验中 $Cr_2O_7^-$ 的作用是比较特殊的，它很难在事前钝化了的不锈钢阴极上被继续还原，因此在示波极谱图上也不出现由于 $Cr_2O_7^-$ 还原而引起的还原电流。并且，在将 $18-8 | 10N H_2SO_4 | 10N H_2SO_4 + 0.01N K_2Cr_2O_7 | 18-8$ 电池接通时，不但浸在 $10N H_2SO_4$ 中的18-8钢不能钝化，相反地在加有重铬酸钾的硫酸中的电极也由于放出氢而被活化了。这一现象说明在这种情况下 $Cr_2O_7^-$ 和 Ag^+ , Cu^{++} 等离子不一样，它在钝态的不锈钢电极上作为去极化剂的效率很低。因此可能它的缓蚀作用与吸附也有一定的关系。

此外，对于很多作者观察到的一个现象，即不锈钢在加有 Cu^{++} 离子的硫酸溶液中的电位正于 $Cu-Cu^{++}$ 系统的平衡电位^[1,3,4]，我们觉得可以根据上面的结果解释如下：当不锈钢电极由于 Cu^{++} 离子的去极化作用（也包括溶解在溶液中的 O_2 的去极化作用）而被钝化以后，电位最初移近至铜电极的电位，但是由于氧的存在，还原时析出的铜便又重新溶解，此时氧的去极化作用使不锈钢电极的电位移向更正，最后表现为一个在一定程度上被极化了的氧电极。

結論

1. Ag^+ , Cu^{++} , Fe^{+++} , Ce^{++++} , VO_3^- , MoO_4^- , $Cr_2O_7^-$ 等离子对于18-8钢在硫酸中有着显著的缓蚀作用，但是它们的浓度必须超过某一临界浓度，否则完全不起作用。
2. 证明了 Ag^+ , Cu^{++} , Fe^{+++} , Ce^{++++} , VO_3^- 等离子的缓蚀作用主要在于它们的去极化作用。当它们能给出的阴极还原电流超过钝化所需的电流时，18-8钢即能钝化而不被腐蚀。
3. 证明了Uhlig根据 $C/\Delta E$ 和 C 的关系来判断缓蚀剂的作用机理的方法是不可靠的。

致謝：本工作中用示波极谱进行的试验是在江宜进同志的协助下进行的，作者在此致以衷心的谢意。

（工作日期：1958年1月至7月）

参考文献

- [1] Б. П. Артамонов и А. И. Шулгин, Труды 2-й Конференции по коррозии металлов, Том 2, (1943), стр. 86—103.
- [2] G. C. Kiefer and W. Renschaw, *Corrosion* 6, No. 8, (1950).
- [3] H. H. Uhlig and A. Geary, *J. Electrochem. Soc.*, 101, 215 (1954).
- [4] Н. Д. Томашов и Г. П. Чернова, Проблемы коррозии и защиты металлов (1956), стр. 68—78.
- [5] U. F. Frank and K. G. Weil, *Z. Electrochem.*, 56, 814 (1952); *Коррозия металлов*, 3, 372 (1957).

关于鉻酸盐对于鋼鐵的緩蝕作用

華保定 嚴鐵城* 嚴志平*

在各種鈍化性緩蝕劑中，鉻酸鹽是用得最廣泛的一種，因此它的作用原理也得到了特別多的探討與研究。但是到現在為止，鉻酸鹽的緩蝕作用的原因還沒有完全弄清楚。例如，U. R. Evans 和 T. P. Hoar^[1] 曾分析過鋼在鉻酸鹽中處理後所形成的保護膜，並且證明其中含有 0.04—0.07 微克/厘米² 的 Cr。因此他們認為鉻酸鹽起緩蝕作用的原因在於鉻酸鹽使微陽極附近的 Fe⁺⁺ 氧化而生成 Fe₂O₃ 和 Cr₂O₃ 的混合物，從而保證了氧化物膜的完整性所致。Mayne 和 Pryor^[2] 曾用電子衍射法研究用酸除去氧化物膜後的鐵浸在鉻酸鉀溶液中時形成的表面膜，他們認為 CrO₄²⁻ 的緩蝕作用在於使鐵氧化成一層有保護性能的 γ-Fe₂O₃。在 Evans 以後的工作中，也認為 CrO₄²⁻ 的作用主要在於使鐵氧化成 γ-Fe₂O₃，並且對他以前三價鉻起保護作用的假說表示不肯定^[3]。不少其他學者也基本上同意這種氧化物膜理論^[3]。

但是，N. Hackerman^[4] 和 H. H. Uhlig^[5] 却持有一完全不同的見解。Uhlig 根據緩蝕劑濃度與緩蝕劑所引起的電位變化之間的關係認為，CrO₄²⁻ 等的作用在於吸附。但是 Uhlig 的推導是不嚴格的，結論也是不可靠的。Hackerman 從他的實驗得出，鋼鐵在鉻酸鹽中處理後表面上鉻的量僅 5.2×10^{15} 原子/厘米²，相當於一單分子吸附層；另外，他認為表面鉻量與 pH 之間的關係也表徵著鉻酸離子、OH⁻ 等之間的競爭吸附。因此他認為鉻酸鹽的保護作用的原因主要在於吸附。傾向於吸附理論的還有 Robertson^[6]，Розенфельд^[7] 等。

但是，無論是 Evans, Hackerman 和 Uhlig 都沒有能直接證明，保護膜中的鉻是以三價或六價的狀態存在的，原因在於鉻量太少，化學分析無能為力，而放射性同位素也不能區別這二種狀態。

在我們以前的工作（未發表）中曾測定過鋼鐵在鉻酸鹽溶液中的陽極電量-電位曲線，在 0.25—0.45 伏（對於飽和甘汞電極）的電位區內出現一個折扭；我們認為這一折扭可能是由於表面上的三價鉻氧化成六價鉻所引起的。

這一工作的目的是利用陽極電量-電位曲線的測定來判斷鋼鐵表面在用鉻酸鹽溶液處理後表面上三價鉻的量與鉻酸鹽溶液 pH 和表面預處理的關係；並結合腐蝕試驗來估計三價鉻和吸附的六價鉻以及空气中形成的 γ-Fe₂O₃ 的保護作用。

實驗部分

（一）實驗方法 試驗時電解槽與甘汞電極都浸在 25°C ± 0.1°C 的恆溫水槽內。所用微安培表的精密度為 ± 1%，所用電位差計為 ЛП-5 型 pH 計，誤差約為 ± 3 毫伏。樣

* 复旦大學在應用化學研究所做畢業論文（1958 年）的同學。

品为低炭鋼絲,其成分如下:

C 0.12%, S 0.035%, P 0.030%, Mn 0.55%, Si 0.045%.

所用試剂均为分析純或化学純的,所有溶液都用二次蒸餾水配制。

在一般情况下(特別注明者例外),样品在試驗前分別用2/0, 3/0, 4/0砂紙磨光(每种砂紙磨300下),然后用硅藻土泥漿去油,用两次蒸餾水洗净,然后浸入鉻酸盐溶液中处理30分钟(从砂紙打磨完毕到放入溶液的时间为3分钟). 在处理时为了避免鋼样与容器的接触点产生局部电池*并提高試驗的重复性,样品不与容器接触。样品的不用部分用生漆(在160°C下烤干)絕緣,以免发生水綫效应。

在处理完毕后,取出样品并用二次蒸餾水洗净,浸入含0.005M碳酸鈉和碳酸氫鈉以及0.02M磷酸氫二鈉的緩冲溶液中10分钟并在恒电流下进行阳极极化,測定电量-电位曲綫。溶液中加入0.005M碳酸鈉和碳酸氫鈉是为了使溶液的pH值保持一定(10.0),加入磷酸氫二鈉的目的是保証在測定时金属不遭受腐蝕。所有的电量-电位曲綫,都在这种溶液中(以下簡称溶液1)測定。

阳极极化时所用电流密度都是2微安/厘米²。每一試驗重复三次。

實驗結果与討論

我們把鋼样在不同pH的0.01M鉻酸盐溶液中处理30分钟,然后在溶液1中測定阳极电量-电位曲綫,所得的結果示于图1。为了使曲綫不致重迭,每一曲綫向右移一定

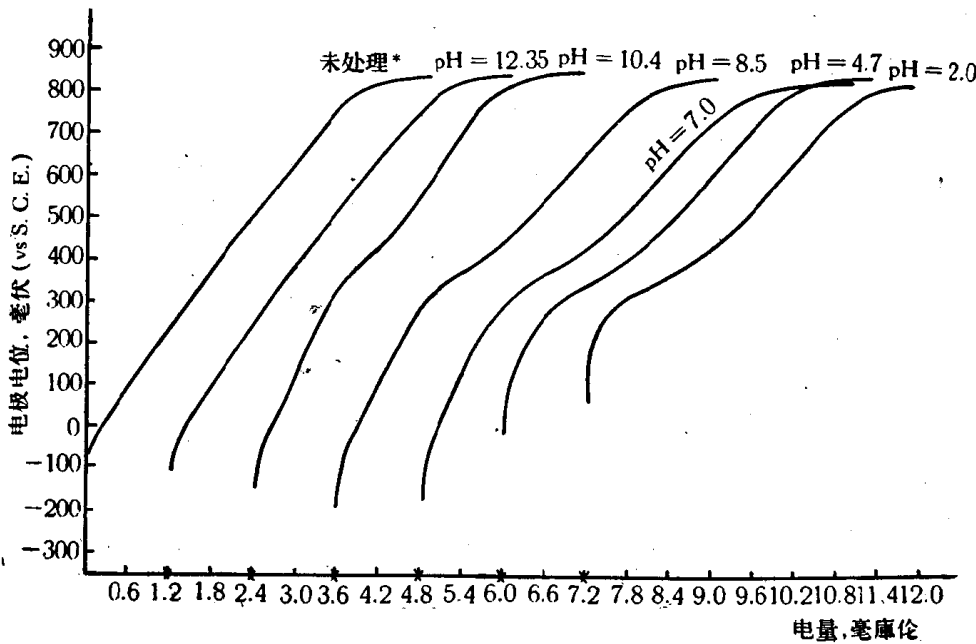


图1 鋼样在不同pH值的鉻酸盐溶液中处理后的电量-电位曲綫

电流密度2微安/厘米²; 温度25°C。

* 未用鉻酸盐处理,直接在溶液1($0.02M\ Na_2HPO_4 + 0.005M\ Na_2CO_3 + 0.005M\ NaHCO_3$, pH = 9.7)中測定。其余为在該pH的0.01M K_2CrO_4 溶液中处理30分钟,用水冲洗后在溶液1中測定。

* 当样品与容器接触时三价鉻量会有所增加。